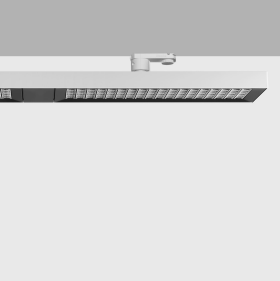


Dernière mise à jour des informations: Avril 2025

Configuration du produit: RT83.S3

RT83.S3: Corps éclairant L=880 - DALI intégré - Optique Very Wide Flood (Down) - 51.7W 8308.5lm - 3500K - Blanc/Noir/Noir Transparent



Référence produit

RT83.S3: Corps éclairant L=880 - DALI intégré - Optique Very Wide Flood (Down) - 51.7W 8308.5lm - 3500K - Blanc/Noir/Noir Transparent

Description technique

Corps éclairant en aluminium extrudé peint, collerette et embouts en matière thermoplastique moulée par injection. Optique Very Wide Flood (80°) en version Space Opti-Diamond (PMMA) avec cache postérieur en version blanche (Blanc transparent) ou noire (Noir transparent). Alimentation gradable DALI intégrée à source LED (Mid-Power) monochrome 3500K IRC80 à émission directe.

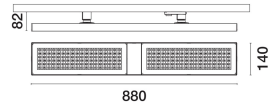
Installation

De type rail à tension de réseau

| Coloris | Poids (Kg) |
|----------------------------------|------------|
| Blanc/Noir/Noir Transparent (S3) | 2.73 |

Montage

rail dali|fixé à un rail 3 allumages



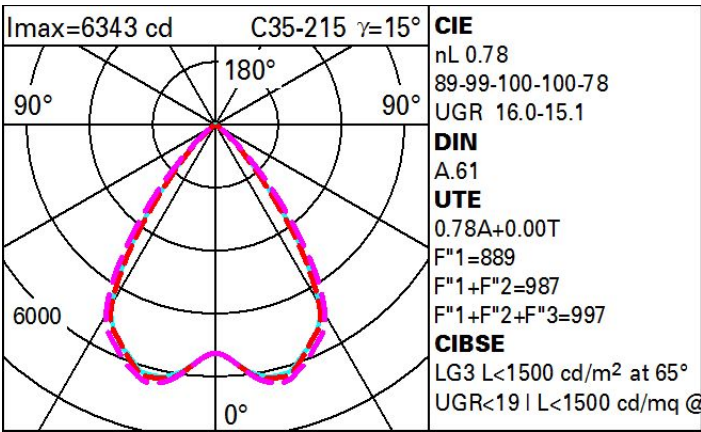
Conforme à la norme EN60598-1 et à la réglementation en vigueur (o 'à la réglementation relative')



Données techniques

| | | | |
|-----------------------------------|-------|----------------------------|--|
| Im du système: | 8307 | Code Lampe: | LED |
| W du système: | 53 | Nombre de lampes par | 1 |
| Im source: | 10650 | groupe optique: | |
| W source: | 53 | Code ZVEI: | LED |
| Efficacité lumineuse (lm/W, 156.7 | | Nombre de groupes | 1 |
| valeurs du système): | | optiques: | |
| Im en mode secours: | - | Facteur de puissance: | Voir Notice de montage |
| Flux total émis à un angle 0 | | Courant d'appel: | 10 A / - µs |
| de 90° ou plus [Lm]: | | Nombre maximal d'appareils | |
| Light Output Ratio (L.O.R.) 78 | | par disjoncteur: | B10A: 12 appareils B16A: 20 appareils C10A: 20 appareils C16A: 34 appareils |
| [%]: | | % minimum de gradation: | 1 |
| IRC (minimum): | 80 | Protection de surtension: | 2kV Mode commun e 1kV Mode différentiel |
| Température de couleur [K]: 3500 | | Control: | DALI-2 |
| MacAdam Step: | 3 | | |

Polaire



Coefficients d'utilisation

| R | 77 | 75 | 73 | 71 | 55 | 53 | 33 | 00 | DRR |
|------|----|----|----|----|----|----|----|----|-----|
| K0.8 | 66 | 62 | 59 | 56 | 61 | 58 | 58 | 55 | 70 |
| 1.0 | 70 | 66 | 63 | 61 | 65 | 62 | 62 | 59 | 76 |
| 1.5 | 75 | 72 | 69 | 67 | 71 | 69 | 68 | 65 | 84 |
| 2.0 | 78 | 75 | 74 | 72 | 74 | 73 | 72 | 69 | 89 |
| 2.5 | 79 | 78 | 76 | 75 | 76 | 75 | 74 | 72 | 92 |
| 3.0 | 81 | 79 | 78 | 77 | 78 | 77 | 76 | 74 | 94 |
| 4.0 | 82 | 81 | 80 | 79 | 79 | 79 | 77 | 75 | 96 |
| 5.0 | 82 | 82 | 81 | 80 | 80 | 79 | 78 | 76 | 97 |

Courbe limite de luminance

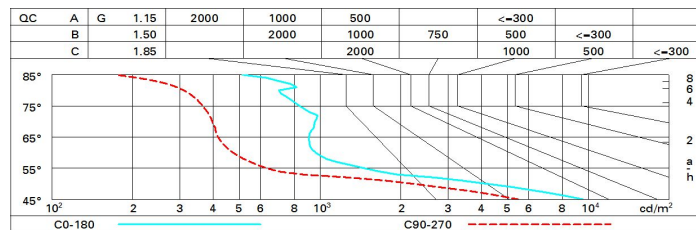


Diagramme UGR

| Corrected UGR values (at 10650 lm bare lamp luminous flux) | | | | | | | | | | | |
|--|------|---------------------|------|------|------|------|-------------------|------|------|------|------|
| Reflect.: ceiling/cav walls work pl. Room dim x y | | viewed crosswise | | | | | viewed endwise | | | | |
| 2H | 2H | 10.5 | 17.2 | 10.8 | 17.4 | 17.7 | 15.6 | 10.3 | 15.9 | 10.6 | 10.8 |
| | 3H | 10.4 | 17.0 | 10.7 | 17.3 | 17.6 | 15.5 | 10.1 | 15.8 | 10.4 | 10.7 |
| | 4H | 10.3 | 16.9 | 10.7 | 17.2 | 17.5 | 15.4 | 10.0 | 15.8 | 10.3 | 10.6 |
| | 6H | 10.3 | 16.8 | 10.6 | 17.1 | 17.5 | 15.3 | 15.9 | 15.7 | 10.2 | 10.5 |
| | 8H | 10.2 | 16.8 | 10.6 | 17.1 | 17.4 | 15.3 | 15.8 | 15.7 | 10.2 | 10.5 |
| | 12H | 10.2 | 16.7 | 10.6 | 17.1 | 17.4 | 15.3 | 15.8 | 15.7 | 10.1 | 10.5 |
| 4H | 2H | 10.3 | 16.9 | 10.6 | 17.2 | 17.5 | 15.5 | 10.1 | 15.8 | 10.3 | 10.7 |
| | 3H | 10.2 | 16.7 | 10.5 | 17.0 | 17.4 | 15.3 | 15.8 | 15.7 | 10.2 | 10.5 |
| | 4H | 10.1 | 16.6 | 10.5 | 16.9 | 17.3 | 15.2 | 15.7 | 15.6 | 10.1 | 10.4 |
| | 6H | 10.1 | 16.4 | 10.5 | 16.8 | 17.3 | 15.2 | 15.6 | 15.6 | 15.9 | 10.4 |
| | 8H | 10.0 | 16.4 | 10.5 | 16.8 | 17.2 | 15.1 | 15.5 | 15.6 | 15.9 | 10.3 |
| | 12H | 10.0 | 16.3 | 10.5 | 16.8 | 17.2 | 15.1 | 15.4 | 15.5 | 15.8 | 10.3 |
| 8H | 4H | 10.0 | 16.3 | 10.4 | 16.8 | 17.2 | 15.2 | 15.5 | 15.6 | 15.9 | 10.4 |
| | 6H | 15.9 | 16.2 | 10.4 | 16.7 | 17.1 | 15.1 | 15.4 | 15.6 | 15.8 | 10.3 |
| | 8H | 15.9 | 16.2 | 10.4 | 16.6 | 17.1 | 15.0 | 15.3 | 15.5 | 15.8 | 10.3 |
| | 12H | 15.9 | 16.1 | 10.4 | 16.6 | 17.1 | 15.0 | 15.2 | 15.5 | 15.7 | 10.2 |
| 12H | 4H | 15.9 | 16.3 | 10.4 | 16.7 | 17.1 | 15.1 | 15.4 | 15.6 | 15.9 | 10.3 |
| | 6H | 15.9 | 16.1 | 10.4 | 16.6 | 17.1 | 15.0 | 15.3 | 15.5 | 15.8 | 10.3 |
| | 8H | 15.9 | 16.1 | 10.4 | 16.6 | 17.1 | 15.0 | 15.2 | 15.5 | 15.7 | 10.2 |
| Variations with the observer position at spacing: | | | | | | | | | | | |
| S = | 1.0H | 3.6 / -8.7 | | | | | 3.8 / -9.6 | | | | |
| | 1.5H | 6.3 / -9.7 | | | | | 6.2 / -10.3 | | | | |
| | 2.0H | 8.3 / -10.3 | | | | | 8.2 / -10.6 | | | | |